

دراسات طيفية لمعقدات كربوكسيلات الحديد المائية وفعاليتها الفوئية

الدكتور حسن جريկوس^٠

□ الملخص □

يبدو طيف الشاردة $\left[Fe(H_2O)_6\right]^3-$ في الوسط الحمضي مكوناً من خمس حزم مركبة منوعة "سبن بالإضافة إلى حزمة امتصاص من النوع $H_2O \rightarrow Fe(III)CT$ " $LMCT$ تظهر على شكل منعطف عند طول الموجة $\lambda = 238 nm$.

تميل شوارد الحديد الثلاثي في الوسط المائي الحاوي على شوارد الكربوكسيلات بشدة لتشكيل معقدات كلابوكسيلات الحديد من النوع $\left[Fe(H_2O)_{6-n}(RCOO)\right]^{(3-n)+}$ حيث $n \geq 1$ تظهر في طيف امتصاص هذه المعقدات ثلاثة حزم شديدة وخمسة أخرى ضعيفة الشدة، والواقع أن هذه الحزم جميعها تعزى إلى انتقالات الشحنة من المرتبطة (كربوكسيل أو هيدروكسيل) إلى المعدن (حديد ثلاثي).

إن التحلل الضوئي للحموض الكربوكسيليه يتطلب استخدام ضوء طول موجته أقل من $nm 240$ ، في حين أن تعرض الأنواع الفعالة ضوئياً من معقدات كربوكسيلات الحديد مثل $\left[Fe(RCOO)^{2+}\right]$ $LMCT$ لضوء طول موجته يقع في المجال (UV-VIS) الحاوي على حزم الامتصاص $\left[Fe(RCOO)_2\right]^+$ بسبب، كما هو متوقع، حدوث تفاعل أكسدة-إرجاع للمعد.

A Spectral Study on Iron Carboxylate and Its Photoactivity

Dr. Hassan JRIKOUS^c

□ ABSTRACT □

The spectrum of $[Fe(H_2O)_6]^{3-}$ in acidic aqueous solutions consists essentially of five weak spin - forbidden ligand field bands as well as one LMCT band ($H_2O \rightarrow Fe(III)CT$) which appear as a shoulder around $\lambda = 238 nm$.

Ferric ions in aqueous solution containing carboxylate anions show a strong tendency to form iron carboxylate complexes $[Fe(H_2O)_{6-n}(RCOO)_n]^{(3-n)+}$; $4 \geq n \geq 1$.

Their absorption spectra show high intensity and five low intensity band. As a consequence, these bands can be attributed to charge transfer transitions from the ligand (RCOO or OH) to the metal Fe(III).

The photolysis of diphatic carboxylic acids requires irradiation below 240 nm. But the radiation of the photoreactive species of iron carboxylate complexes $[Fe(RCOO)]^{2+}$ a. $[Fe(RCOO)]^+$ in their charge transfer bands (UV-VIS spectral region) causes, as expected, an oxidation-reduction reaction of the complex.

^c Lecturer at the Department of Chemistry, Faculty of Science, Tishreen University, Lattakia, Syria.

1- مقدمة:

تحتوي شاردة الحديد الثلاثي (Fe^{3+}) على خمسة إلكترونات فردية يتوضع كل إلكترون منها في أحد المدارات (d)، المعروف أن الحديد الثلاثي يشكل في معظم الأحيان معقدات ثمانية الوجه تكون فيها الشاردة المركزية (Fe^{3+}) واقعة تحت تأثير حقل الارتباط المتولد عن المرتبطات المحبطة بالشاردة المركزية، والإلكترونات الخمس موزعة على المدارات t_2 و e_g .

حسبما تكون شدة الحقل المتولد عن المرتبطات يكون حجم الاشتراك الحاصل في المدارات (d) (المسافة بين المدارات t_2 و e_g) وفي هذه الحالة يمكن التمييز بين نوعين من الحقول: حقل ضعيف وحقل شديد.

في حالة الحقل الضعيف تتوزع الإلكترونات الثلاث الأولى على المدارات t_2 الثلاثة في حين يتواجد الإلكترونان الرابع والخامس في المدارين العلوين e_g (الحالة الإلكترونية $t_2^3 e_g^2$) ويكون مجموع السين في المعقد أعظمياً $S = \frac{5}{2}$ ويسمي معقد الحديد في هذه الحالة المعقد المرفع السين.

وأما في حالة الحقل الشديد فتتوزع الإلكترونات الخمس على المدارات السفلية t_2 على شكل زوجين وإلكترون فردي (الحالة الإلكترونية $t_2^5 e_g^0$) وبهذا يكون مجموع السين في المعقد $(S = \frac{1}{2})$ ويقال عن معقد الحديد في هذه الحالة إنه منخفض السين.

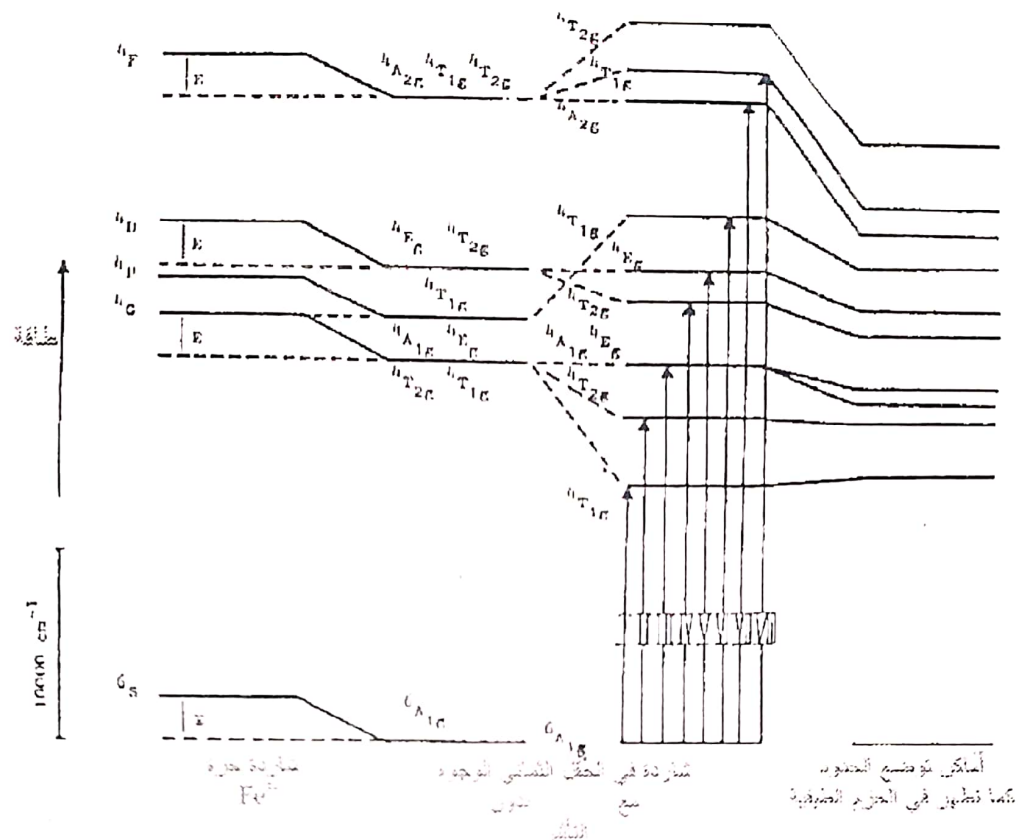
وإذا أردنا معرفة حقل الارتباط وجب علينا أن ننظر إلى المرتبطة وإلى مكان وقوعها في السلسلة الكيميائية الطيفية، التي رتبت فيها المرتبطات وفقاً لقوتها المتزايدة:



و عند استعراضنا عن مرتبطة موجودة في معقد ما بمرتبطة أخرى أقوى منها (واقعة على يمينها في السلسلة الكيميائية الطيفية) نلاحظ انزياحاً في طيف هذا المعقد، حيث تزاح حزمة الامتصاص باتجاه الأطوال الموجية الأقصر.

2- الحدود الطيفية للشاردة المعقدة $\left[Fe(H_2O)_6\right]^{3+}$ وطيفها الإلكتروني:

إن معقدات الحديد ذات الثمانية الوجوه الحاوية على المرتبطات الضعيفة ($RCOO^-$, H_2O , OH^-) هي عبارة عن معقدات مرتفعة السين حدها الطيفي الأساسي هو (A_{1g}^6) الذي يتولد عن الحالة البدائية (S^6) ولا ينطوي فيما بعد (انظر الشكل 1):



الشكل (1) الحدود الطيفية لشاردة المعقدة $[Fe(H_2O)_6]^{3+}$

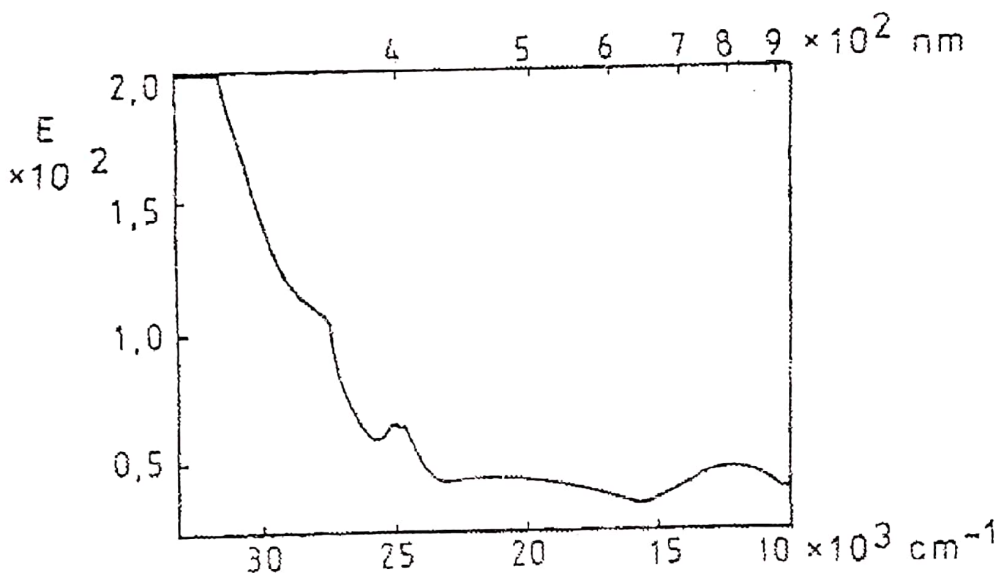
لو أمعنا النظر في هذا الشكل لو جدنا إلى جانب الحد الطيفي السادس (6A_1) مجموعه من الحدود الطيفية الرابعة ($^4F, ^4G, ^4P, ^4D$) المتوضعة في السويات الطاقية الأعلى. وعلاوة على الحدود الطيفية الرابعة توجد هناك حدود طيفية ثانية تنتهي إلى التوزع الإلكتروني (d^5) لا يمكن تمثيلها في الشكل (1) كونها تتواجد في سويات طاقية مرتفعة.

إن الانتقالات الإلكترونية من السويات الطاقية الأدنى إلى السويات الطاقية الأعلى يسبب تشكيل ما يعرف بالحزم الطيفية، وهنا يمكن التمييز بين نوعين من الانتقالات، فال الأول يحصل بين الحدود المختلفة الجدائية، كالانتقال الإلكتروني $T_{1g} \rightarrow ^6A_1$ على سبيل المثال، وتنتج عنه حزم طيفية ممنوعة للسين ضعيفة الشدة تسمى بالحزم المركبة، والانتقال الإلكتروني الآخر يتم بين الحدود ذات الجدائية نفسها وتنجم عنه حزم طيفية شديدة مسمومة السين غالباً ما تغطي الحزم الطيفية المركبة ذات الشدة الضعيفة.

يتبيّن من الشكل (1) أنه لا تحصل في المعقد $[Fe(H_2O)_6]^{3+}$ انتقالات للإلكترونات بين حدود متساوية الجدائية، وإنما تحصل الانتقالات للإلكترونات من الحد السادس (6A_1) إلى الحد الرابعية الواقعة في السويات الطاقية الأعلى، وهذا يمكننا القول: إن انتقالات مسمومة السين من النوع (d-d) لا

يمكن أن تحصل في هذا النوع من المعقادات، وما الحزم الطيفية الضعيفة الشدة التي تظهر في الشكل (2) عند الأطوال الوجبة:

$\lambda_1 = 355\text{nm}$, $\lambda_2 = 406\text{nm}$, $\lambda_3 = 410\text{nm}$, $\lambda_4 = 450\text{nm}$, $\lambda_5 = 794\text{nm}$
إلا حزم مركبة ممنوعة السين (معامل الامتصاصية الجزيئي (ϵ) الموافق لهذه الأطوال الموجية صغير جداً.
[1] ($\epsilon \approx 0.1\ell.\text{mol}^{-1}.\text{cm}^{-1}$)



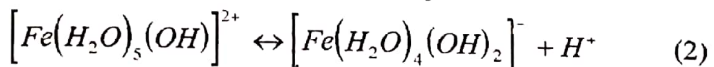
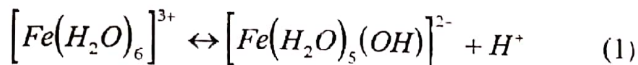
الشكل (2) الطيف الإلكتروني للشاردة المعقادة
 $[\text{Fe}(\text{H}_2\text{O})_6]^{3+}$
($0.05\text{M} \text{Fe}(\text{NO}_3)_3 \cdot 9\text{H}_2\text{O}$ in $1.0\text{M} \text{HClO}_4$)

إضافة إلى الحزم المركبة الخمسة التي تظهر في الطيف الإلكتروني للشاردة المعقادة $[\text{Fe}(\text{H}_2\text{O})_6]^{3+}$ نلاحظ وجود منطقة انعطاف عند طول الموجة $\lambda = 238\text{nm}$ [2] وهذه المنطقة ما هي بالأساس إلا حزمة امتصاص ناشئة عن الانتقال الإلكتروني ($\text{H}_2\text{O} \rightarrow \text{Fe(III)}$) من المرتبطة $\text{H}_2\text{O} \rightarrow \text{Fe(III)}$ إلى الشاردة المركزية Fe(III) .

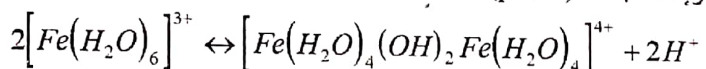
3-تشكل معقادات كربوكسيلات في الوسط المائي وأطيافها الإلكترونية:

إن وجود شاردة الحديد الثلاثي المائية $[\text{Fe}(\text{H}_2\text{O})_6]^{3+}$ يتعلق بشكل أساسى بدرجة حموضة الوسط(pH) فإذا كانت قيمة (pH) قريبة من الصفر فإن 99% من شوارد الحديد الثلاثي تكون على شكل شوارد معقادة من النوع $[\text{Fe}(\text{H}_2\text{O})_6]^{3+}$ تكون محلول باللون الأصفر الشاحب وإذا كانت درجة الحموضة (pH=2-3) أمكن حدوث التوازنين التاليين:

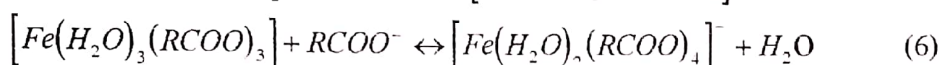
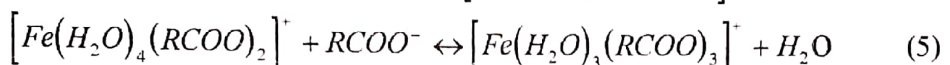
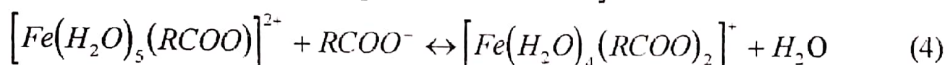
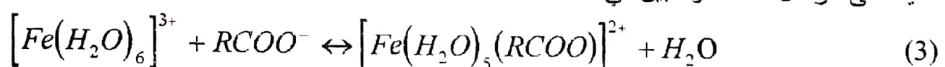
* يستعمل الرمز (CT) للدلالة على حدوث انتقال (الشحنة الإلكترونية) وهو اختصاراً لـ Charge-Transfer



وإذا أصبحت (pH>3) فعندئذ تتشكل معقدات متعددة النوى تحتوي على أكثر من شاردة مركبة.



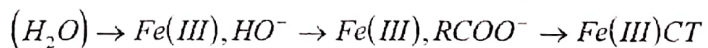
أما في الوسط الحاوي على شوارد الحديد الثلاثي وشوارد الكربوكسيلات فيتم تشكيل معقدات كربوكسيلات الحديد على مراحل، كما هو مبين في المعادلات التالية:



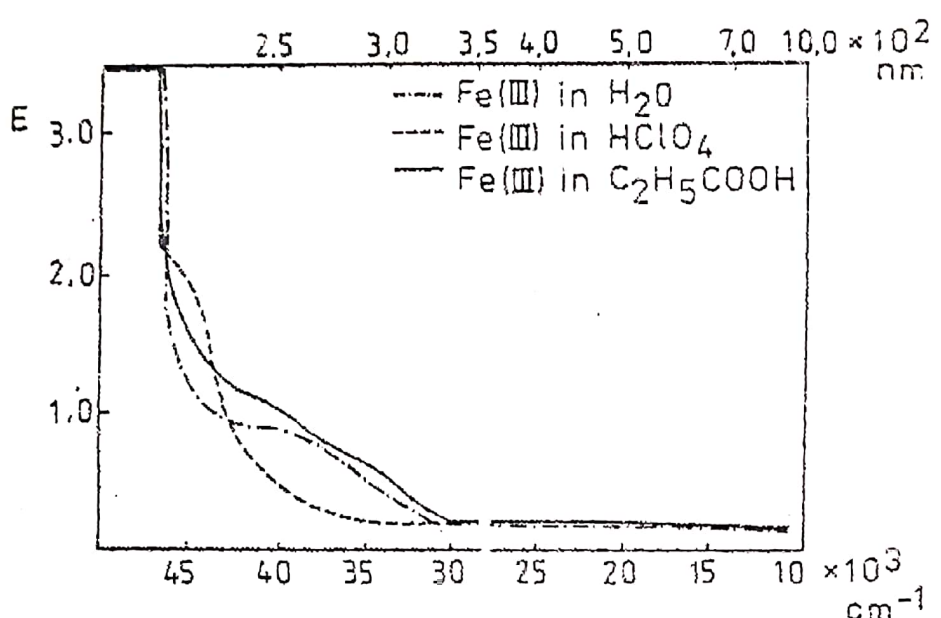
وعندما يكون تركيز شوارد الحديد الثلاثي أو الحمض الكربوكسيلي مرتفعاً تصبح الفرصة مواتية لتشكل معقدات متعددة النوى كالمعقد $\left[Fe_3(RCOO)_6(H_2O)_3\right]^+$ والمعقد $\left[Fe_3(RCOO)_6(OH)_2\right]^+$ ولما كانت معقدات كربوكسيلات الحديد المبينة في المعادلات /3-6/ غير ثابتة فإنه من الصعب معرفة تركيز هذه المعقدات في المحلول.

من جهة أخرى، إن المرتبطات (H_2O , OH^- , $RCOO^-$) المتوضعة على الشاردة المركزية

تتجاوز في السلسلة الكيميائية الطيفية، الأمر الذي يجعل الانتقالات:



متقاربة من حيث الطاقة، وهذا ما يسبب بدوره تداخل الحزم الطيفية الناجمة عن هذه الانتقالات وتشابكها، وهكذا فإن حزم الامتصاص التي تظهر في الطيف الإلكتروني (UV/VIS) للمحلول (انظر الشكل 3) لا تصدر عن نوع واحد من المعقدات، وإنما هي حزم متداخلة لا يمكن سبرها وتمييزها كونها صادرة عن جميع المعقدات المتواجدة في المحلول.



الشكل (3) الطيف الإلكتروني لمعقدات كربوكسيلات الحديد (3)
 $(\text{pH} = 3)$

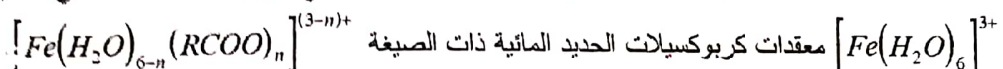
$0.0025 \text{ M Fe}(\text{NO}_3)_3 \cdot \text{H}_2\text{O}$	(-----)
$0.0025 \text{ M Fe}(\text{NO}_3)_3 \cdot 9\text{H}_2\text{O}$ in 0.0025 M HClO_4	(----)
$0.0025 \text{ M Fe}(\text{NO}_3)_3 \cdot 9\text{H}_2\text{O}$ in $0.075 \text{ M C}_2\text{H}_5\text{COOH}$	(—)

تظهر في الشكل (3) حزمة امتصاص شديدة عند طول الموجة $\lambda = 291 \text{ nm}$ ($\epsilon \approx 1400 \text{ l.mol}^{-1}.cm^{-1}$) ناتجة عن انتقال الشحنة من زمرة الهيدروكسيل إلى شاردة الحديد الثلاثي المركزية، بينما تظهر عند طولي الموجة $\lambda_1 = 443 \text{ nm}$ و $\lambda_2 = 461 \text{ nm}$ حزمتان ضعيفتان شديدة ($\epsilon = 10 \text{ l.mol}^{-1}.cm^{-1}$). $\text{HO} \rightarrow \text{Fe(III) CT}$.

وأما حزم الامتصاص الناتجة عن الانتقالات الإلكترونية من النوع $[RCOO \rightarrow \text{Fe(III)CT}]$ فتظهر عند خمسة أطوال موجية مختلفة. فعند طولي الموجة $\lambda_1 = 284 \text{ nm}$ و $\lambda_2 = 340 \text{ nm}$ يمكن مشاهدة حزمتين شديدة ($\epsilon = 1000 - 1800 \text{ l.mol}^{-1}.cm^{-1}$) وتحظى الحزم الضعيفة الشديدة عند الأطوال الموجية $\lambda_3 = 516 \text{ nm}$ و $\lambda_4 = 461 \text{ nm}$ و $\lambda_5 = 443 \text{ nm}$ ($\epsilon = 20 - 40 \text{ l.mol}^{-1}.cm^{-1}$).

٤- الفعالية الضوئية لمعدات كربوكسيلات الحديد المائية:

شكل الحموض الكربوكسيلية الأليفاتية (RCOOH) بتفاعلها مع شوارد الحديد الثلاثي المائية



والجدير بالذكر أن الحموض الكربوكسيلية الأليفاتية لا تتأثر بالضوء المرئي، ويلازم لتطهيمها ضوء

استعمال ضوء واقع في المجال فوق البنفسجي ذي الأطوال الموجية القصيرة (طاقة هذا الضوء مرتفعة جداً) [4].

وعلى العكس من ذلك، نرى أن المعد $\left[\text{Fe}(\text{H}_2\text{O})_6(\text{RCOO})_n \right]^{(3-n)+}$ الحاوي على زمرة

الكربوكسيل وشاردة الحديد الثلاثي المركزية يمكن تحكمه ضوئياً باستخدام ضوء طول موجته $\lambda \geq 240 \text{ nm}$.

ويفسر ذلك بوجود الشاردة المعدنية (Fe(III)) التي تلعب دور المحسس الضوئي في المجال (UV/VIS).

والواقع أن عملية التحطيم الضوئي لمعد كربوكسيلات الحديد هي عبارة عن تفاعل أكسدة-إرجاع يتم داخل المعد حيث يتم انتقال الإلكترون (الشحنة) من مرتبطة الكربوكسيل إلى شاردة الحديد الثلاثي، ويرمز لهذا الانتقال بـ LMCT[°]. ولكي تتم عملية التحطيم هذه ينبغي استعمال ضوء طول موجته يقع في المجال الضوئي نفسه الذي تظهر فيه حزم امتصاص المعد [5].

وقد دلت التجارب والدراسات الطيفية التي أجريت في الجملة $[\text{Fe(III)}/\text{RCOOH}]$ على شكل

معدات فعالة ضوئياً من النمط $\left[\text{Fe}(\text{RCOO})_n \right]^{(3-n)+}$ ، $4 \geq n \geq 1$. إلا أن الفعالية الضوئية تختلف من

معد آخر، فالمعد $[\text{Fe}(\text{RCOO})]^{2+}$ أحادي الوظيفة الكربوكسيلية هو أكثر المعدات فعالية ضوئية عندما تكون الحموض الكربوكسيلية المستعملة هي: حمض النمل وحمض الليمون) [6] بينما يكون المعد

$[\text{Fe}(\text{RCOO})]^{2+}$ ، ثاني الوظيفة الكربوكسيلية، هو الأكثر فعالية ضوئية في حالة حمض اللبن [7].

وأما المعدات المتعددة النوى المشكّلة في الجملة $[\text{Fe(III)}/\text{RCOOH}]$ من النمط

$[\text{Fe}_3(\text{RCOO})_6(\text{OH})_2]^+$ أو النمط $[\text{Fe}_3\text{O}(\text{RCOO})_6(\text{H}_2\text{O})_3]^+$ فهي معدات غير فعالة ضوئياً

وتلعب دور المرشحات الداخلية للضوء فقط.

نستنتج مما سبق أن جعل المردود الكوانطي لعملية التحطيم الضوئي لمعدات كربوكسيلات الحديد أعظمياً يتطلب استعمال ضوء طول موجته يقع في المجال نفسه الذي تقع فيه قمم حزم امتصاص المعدات الفعالة ضوئياً.

[°] يستعمل الرمز LMCT للدلالة على حدوث انتقال الشحنة (الانتقال الإلكتروني) من المرتبطة (L) إلى النرة المعدنية المركزية (M) وهو اختصاراً Ligand to metal charge transfer.

REFERENCES

المراجع

1. Lever, A.B.P.: Inorbanic electronic spectroscopy Elsevier Amsterdam/Oxford/New York/Tokyo 1984.
2. Kamblu, U.; Gudel, J.U.: Inorg. Chem. 21 (1982) 1270.
3. Jakubov, ch.M.; Bessarabenko, B.E; Offengenden, E.Ja: Zh. Obsch. Lhim. 57 (1987) 1681.
4. Coyele, J.D.: chem. Rev. 78 (1978) 98.
5. Masumoto, A; Azuma, N.: J. phys. Chem. 92 (1988) 1830.
6. Vineze, L.; Papp, S.: J. photochem. 36 (1987) 279.
7. Bakore, G.V.; Bhardwaj, S.D.: Z. phys. Chem. Leipzig 227 (1964) 26.